

トラス断面の空力特性に関する2・3の考察

京都大学工学部 正員 小西一郎
 建設省 正員 ○谷口栄一
 京都大学大学院 学生員 萩山弘文

京都大学工学部 正員 白石成人
 京都大学大学院 学生員 小島治久

1. まえがき

長大吊橋補剛桁としてトラス断面がしばしば用いられるが、その空力特性（耐風特性）に関しては不明な点が数多く残されている。その中でも、ねじれ1自由度の不安定振動であるストールフラッターについては、重要な問題であるにもかかわらずほとんど解明されていないのが現状である。本研究においてはトラス断面のストールフラッターについての風洞実験結果を示し、準定常空気力理論と比較検討を行ない若干の考察を加える。

2. ストールフラッターにおける振動諸特性の影響について

風洞実験に用いた次元模型の断面を図1に示す。模型Bは模型Aの床版に地覆・高欄に相当する突起物（高さ1.5 cm）を取り付けたものである。模型A, Bともに長さは93cm, 単位長さ当たりの質量は1.61 kg.sec²/m², 質量慣性モーメントは0.0247 kg.sec².m/mである。図2に模型A, Bの静的ピッキングモーメント係数C_Mと迎え角αの関係を示す。図より知らるるようく模型BのC_M曲線は迎え角が約-7°から約1°の範囲において負の勾配を有しているが、模型AのC_M曲線は迎え角が-20°から20°の範囲において全て正勾配である。模型A, Bについてフラッター実験を行なってみると、模型Aにおいては、たわみ・ねじれの間に位相差（約35°～65°）が存在する連成フラッターが見られたが、模型Bにおいてはストールフラッターが生じねじれ振動が卓越し、たわみ・ねじれ間の位相差はほとんど0°であった。模型Bのフラッター実験においては、迎え角を-10°から10°まで2°毎に変化させたが、フラッターの発生したのは-6°, -4°, -2°, 0°の場合のみであり、これはC_M曲線の負勾配の範囲と一致しており、この模型の断面についてはNegative Slope Theoryが成立するものと考えられる。また模型Bにおいても、たわみ・ねじれの固有振動数比f_u/f_vが1に近くなると、たわみ・ねじれ間に位相差が見られ、この場合にはストールフラッターと連成フラッターの中間的なフラッターが生じているものと考えられる。図3は模型Bについてのストールフラッターの限界風速（零発振風速）とねじれ振動の初期減衰比δ₀の関係を示している。図より知らるるよう、限界風速とδ₀の関係はほぼ直線で近似することができ

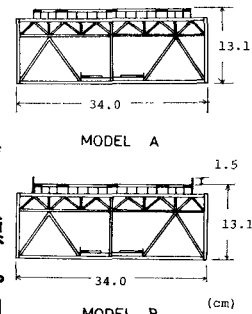
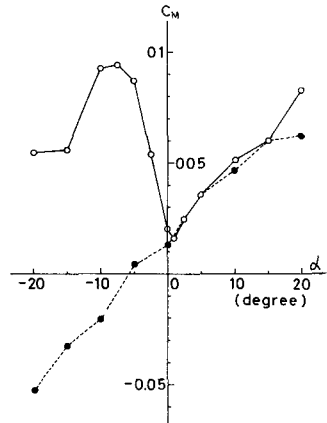


FIG.1 CROSS SECTION



• MODEL A, U = 12.03 m/sec
 ○ MODEL B, U = 12.09 m/sec

Fig. 2 C_M—ANGLE OF ATTACK

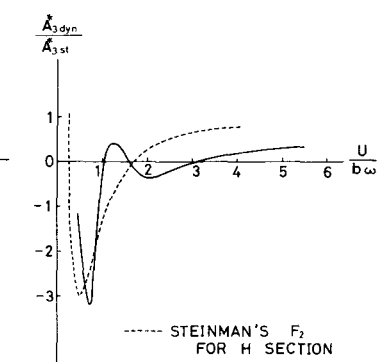
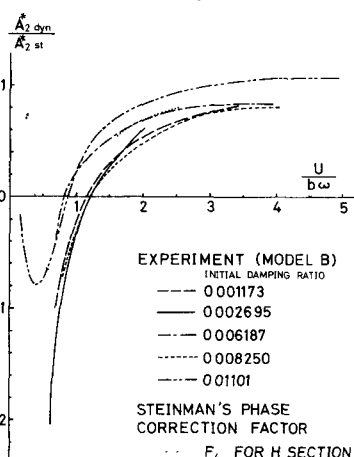
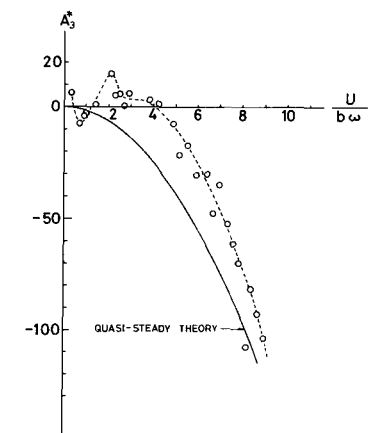
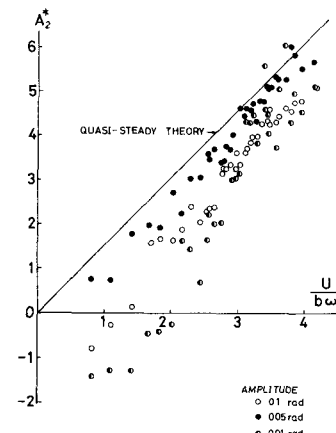
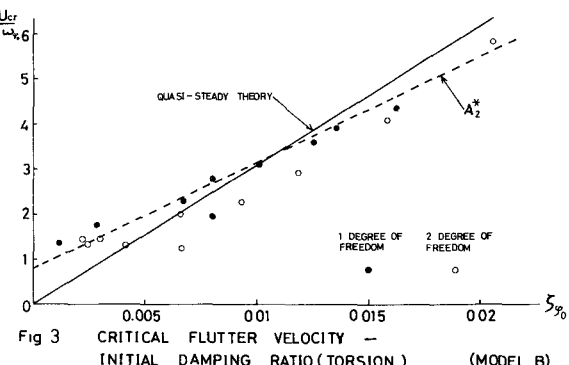
る。又自由度系の限界風速(図中の白丸印)は、ねじれ1自由度系(図中の黒丸印)の限界風速より低くなっている。連成空気力が模型に対して不安定化の効果を有しているものと考えられる。また図中の実線は準定常空気力理論より求められる限界風速を示しているが、換算風速が約3以上において実験値と比較的よく一致している。

3. 非定常空気力

ねじれ1自由度の振動方程式を

$$\ddot{\varphi} + 2\zeta_4 \omega_4 \dot{\varphi} + \omega_4^2 \varphi = A_2 \dot{\varphi} + A_3 \varphi$$

と表わした場合の非定常空気力係数 A_2 , A_3 を風洞実験より求めた。模型Bについての無次元化された値 A_2^* , A_3^* を図4, 図5に示す。 A_2^* の値は振動振幅によって変化しており、空力減衰の非線型性を示している。なお図中の実線は準定常理論より求められる値を表わしており、 A_2^* の実験値は換算風速4~5以上、 A_3^* の実験値は換算風速9~10以上においてこの値に漸近するものと思われる。従ってその範囲においては準定常空気力理論の適用が可能であると考えられる。また両者の比をとったものが図6, 図7に示されている。図中の点線はD.B. Steinman⁽¹⁾がH型断面に対して、流れと



空気力の間の位相差を考慮して半理論的に求めた動的補正関数であるが、模型Bの値とよく似た傾向を示している。

1) D.B. Steinman, "Aerodynamic Theory of Bridge Oscillations," Trans. A.S.C.E., Vol.115, 1950

4. 流れの遅れについて

ストールフラッターにおける流れの遅れについて調べるために、振動している断面（模型B）より生ずる剝離流中の変動風速を図8の各点において熱線風速計を用いて測定した。図9に実験より得られた模型の応答と剝離流中の変動風速（主流方向）の位相差を示す。中の値は換算風速の増大とともに減少する傾向が見られる。図10は模型前縁からの距離と中の関係を表わしており、中の値は前縁からの距離に比例して直線的に増大している。（なお図中の△印は前縁からその点に主流風速到達するのに要する時間に相当する位相差を引いた値を示す。）このようにコード方向に流れの遅れが存在している

ことが、断面が振動している場合に非定常空気力が作用する原因となっているものと考えられる。図11は模型のねじれ変位（上段）と点A（図8参照）における変動風速の主流方向成分 U （中段）、鉛直方向成分（下段）を示している。図より知られるように、模型が頭上げの状態から頭下げの状態に移る過程においては U の変化はゆるやかであるが、頭下げから頭上げに移る過程においては U は急激に加速されている。しかも U のピークは模型の頭上げのピークよりも位相が約45°早く現われている。すなわち、ねじれ角の増大する過程と減少する過程において流れの剝離の状態が異なっており、このことによって断面に作用する空力モーメントと断面のねじれ角の間に位相差が生じ、1サイクル毎にエネルギーが蓄積されてストールフラッターが発生するものと考えられる。

最後に、本研究を進めるにあたり多大の御協力をいた

ただいた京都大学 FIG.11 RECORDS OF OSCILLATION ($U=7.97 \text{ m/sec}$, $U/b\omega=3.66$)

工学部松本勝講師をはじめとする橋梁研究室の諸君に深く感謝の意を表します。

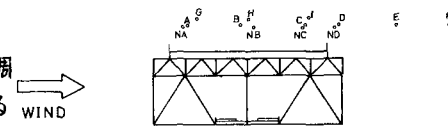


FIG.8 REFERENCE POINT

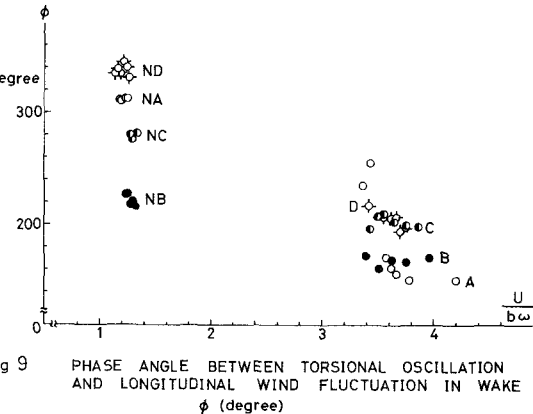


Fig 9

PHASE ANGLE BETWEEN TORSIONAL OSCILLATION AND LONGITUDINAL WIND FLUCTUATION IN WAKE
ϕ (degree)

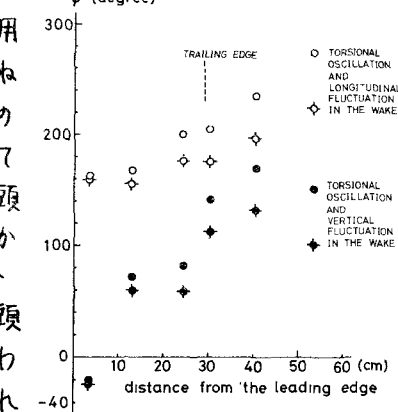


Fig 10 PHASE ANGLE — DISTANCE FROM THE LEADING EDGE
($U/b\omega = 3.60$, $U = 788 \text{ m/sec}$)

